

弥散张量成像在脑胶质瘤放疗中的应用价值

黄仁华,胡斌,沈加林,唐剑敏,叶明,白永瑞

(上海交通大学医学院附属仁济医院,上海 200127)

摘要:[目的]利用弥散张量成像探讨脑胶质瘤放疗后的早期变化。[方法]31例诊断明确的脑胶质瘤部分切除术后患者,在放疗前后1周内分别行MRI平扫+增强+DTI检查,分析肿瘤瘤体区及剂量相关区域的FA、ADC值变化。[结果]肿瘤瘤体区放疗后FA及ADC值均升高,放疗前后差异均有统计学意义($P<0.05$)。剂量 $>60\text{Gy}$ 时正常白质FA值放疗后升高, $50\sim60\text{Gy}, 30\sim40\text{Gy}, 20\sim30\text{Gy}$ 区域的正常白质放疗后FA值均下降,差异均无统计学意义($P>0.05$);剂量 $>60\text{Gy}, 50\sim60\text{Gy}, 40\sim50\text{Gy}, 30\sim40\text{Gy}, 20\sim30\text{Gy}$ 区域的ADC值升高,但放疗前后的差异亦无统计学意义($P>0.05$)。[结论]放疗前、后肿瘤瘤体区FA、ADC值变化能较早提供肿瘤对放疗反应评估。

主题词:脑胶质瘤;弥散张量成像;放射治疗

中图分类号:R739.41 文献标识码:A 文章编号:1671-170X(2013)08-0628-04

doi:10.11735/j.issn.1671-170X.2013.08.B009

The Value of Diffusion Tensor Imaging in the Radiotherapy for Brain Gliomas

HUANG Ren-hua, HU Bin, SHEN Jia-lin, et al.

(Renji Hospital Affiliated to Shanghai Jiaotong University School of Medicine, Shanghai 200127, China)

Abstract:[Purpose] To evaluate the value of diffusion-tensor imaging (DTI) in the radiotherapy for gliomas.[Methods] Thirty-one patients with gliomas pathologically proved after partial surgical resection underwent routine MRI contrast-enhanced scanning and DTI pre- and post-radiotherapy(pre-RT and post-RT). The regions of interest(ROI)were placed on the central tumor region and normal-appearing white matter(NAWM). The FA and ADC values were calculated automatically from both pre-RT and post-RT image sequences.[Results] Compared to pre-RT, FA and ADC values increased post-RT in tumor region with significant differences ($P<0.05$). Compared to pre-RT about NAWM, FA values inclined for dose bins $>60\text{Gy}$, inclined for dose bins of $50\sim60\text{Gy}, 30\sim40\text{Gy}, 20\sim30\text{Gy}$ groups post-RT. Neither had significant differences ($P>0.05$). For dose bins $>60\text{Gy}, 50\sim60\text{Gy}, 30\sim40\text{Gy}, 20\sim30\text{Gy}$ groups, ADC values inclined post-RT, neither had significant differences ($P>0.05$).[Conclusion] DTI can early provide important information about effect of radiotherapy.

Subject words: brain gliomas; diffusion-tensor imaging; radiotherapy

胶质瘤是中枢神经系统最常见的原发性肿瘤,病变侵袭性生长,常规CT、MR检查只能对脑肿瘤位置、大小及形态作出初步判断,如遇不典型者,则定性诊断困难。磁共振弥散张量成像(diffusion-tensor imaging, DTI)是以磁共振加权成像(diffusion weighted imaging, DWI)为基础发展起来的一种功能显像。它能探测脑实质生理或病理状态下的变化,并进行定量分析;能较好显示神经纤维束的走行、方向、排列、髓鞘等信息。各向异性分数(fractional

anisotropy, FA)值和表观弥散系数(apparent diffusion coefficient, ADC)是DTI中最常用的定量值,分别显示水分子扩散的方向性和弥散速度、范围。我们以DTI定量分析为主,并结合常规MRI图像,研究脑胶质瘤放疗前、后FA、ADC值的早期变化。

1 资料与方法

1.1 临床资料

2010年8月至2012年1月在上海交通大学医学院附属仁济医院放疗科进行放疗的31例脑胶质瘤患者,其中女性14例,男性17例,年龄26~65岁,

通讯作者:白永瑞,主任医师,博士;上海交通大学医学院附属仁济医院放疗科,上海市浦东新区东方路1630号(200127);E-mail:baiyongruiz@163.com

收稿日期:2013-03-29;修回日期:2013-06-26

平均(47.03 ± 12.6)岁,所有患者均行肿瘤部分切除术,得到病理证实,术后1个月内接受放疗。按WHO标准病理分级,其中WHOⅡ级9例,Ⅲ级7例,Ⅳ级15例。

1.2 影像学检查

采用GE Signa 3.0T HDxT 超导型磁共振扫描仪。所有患者在放疗前及放疗后1周内行常规MRI平扫+增强+DTI检查。常规MRI扫描序列包括Ax-MPRGE:TE 2.0ms,TR 6.4ms;T2FSE:TE 116.9ms,TR 4 480.0ms;T2Flair:TE 153.3ms,TR 9 002.0ms,行轴位扫描,层厚5mm,间距2.0mm,FOV 26cm,矩阵 312×512 。Ax-MPRGE增强扫描使用马根维显,经前臂静脉注射。DTI采用单次激发回波平面(single-short echo-planar,SS-EPI)成像序列,扩散敏感梯度场b值为0和 $1\ 000\text{s/mm}^2$,弥散方向为所有弥散方向,TR 10 825ms,TE 88ms,回波链长度为1,层厚3mm,层距1mm,反转角 15° ,DTI采集时间为184s。

1.3 放疗方法

患者均采用热塑面膜固定体位,激光灯摆位,CT连续增强扫描,层厚5mm,获得影像资料,传入计划系统,三维治疗计划系统采用pinnacle³ 7.8f。由两位医师勾画靶区,残存病灶为肿瘤靶区(GTV)、临床靶区(CTV)范围:GTV+周围 $2.5\sim3\text{cm}$,PTV:CTV+0.5cm,照射给予3~5个共面或非共面野(三维适形放疗),若肿瘤距离眼球、脑干等重要器官较近则采用调强放疗,要求90%~93%等剂量曲线包括PTV范围,经CT扫描校位验证后实施。 $2\text{Gy}/(\text{次}\cdot\text{d})$,5次/周,40Gy后缩小至PTV,总剂量为D_T 60Gy。

1.4 资料分析与统计学处理

在GE工作站ADW4.4上对弥散张量数据进行处理,FA图、ADC图由核磁共振系统自动计算生成。在FA图测量肿瘤瘤体区域的FA值。在ADC图测量肿瘤瘤体区域的ADC值。在TPS计划系统上依据骨性标志将剂量曲线图与FA图、ADC图融合,分别测剂量 $>60\text{Gy}$ 、 $50\sim60\text{Gy}$ 、 $40\sim50\text{Gy}$ 、 $30\sim40\text{Gy}$ 、 $20\sim30\text{Gy}$ 的FA值及ADC值。测量时每个部位取3个

ROI($10\sim15\text{mm}^3$),取其平均值。结果以均数 \pm 标准差表示。上述数据利用SPSS16.0统计学软件包分析,对所得数据均采用配对样本t检验,定义 $P<0.05$ 为差异有统计学意义。

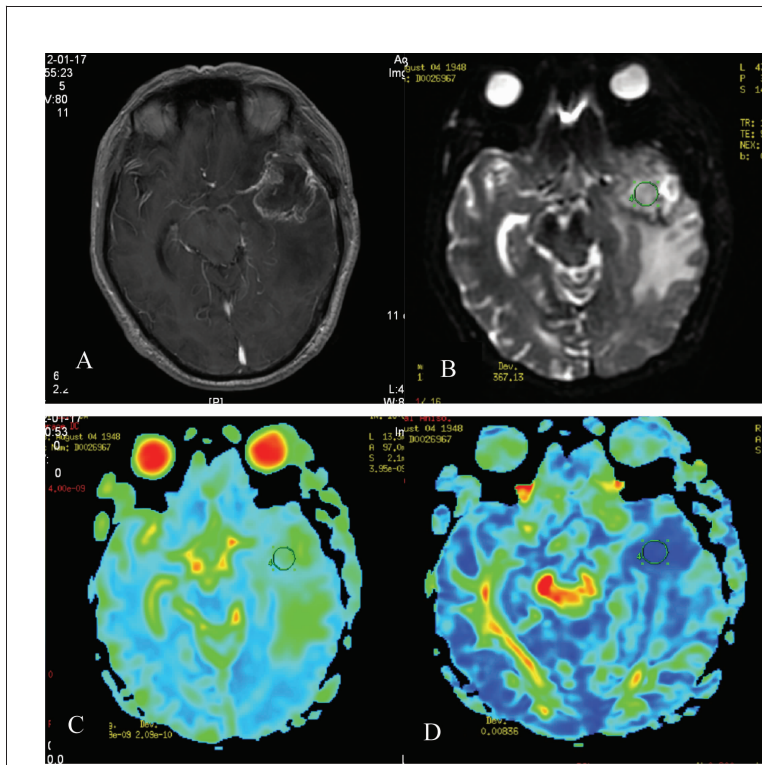
2 结 果

2.1 肿瘤瘤体区域FA值、ADC值变化

放疗前、后的FA值分别为 0.15 ± 0.07 、 0.17 ± 0.09 ;ADC值($\times10^{-9}\text{mm}^2/\text{s}$)分别为 1.28 ± 0.22 、 1.42 ± 0.40 ,两者均较放疗前上升,且差异有统计学意义($P<0.05$)(Table 1,Figure 1)。

Table 1 Changes of FA value,ADC value in tumor region before and after radiotherapy ($\bar{x}\pm s$)

Groups	FA	ADC($\times10^{-9}\text{ mm}^2/\text{s}$)
Pre-RT(n=31)	0.15 ± 0.07	1.28 ± 0.22
Post-RT(n=31)	0.17 ± 0.09	1.42 ± 0.40
<i>t</i>	-2.1	-2.3
<i>P</i>	0.04	0.02



A:Contrast-enhanced MRI showed left temporal lobe tumor enhancement.

B:Select the tumor area in the DTI was of interest.

C:ADC value of the tumor area was 1.39×10^{-9} .

D:Tumor area FA was 0.03.

Figure 1 The FA and ADC maps of tumor region

2.2 正常脑白质在不同剂量放疗后 FA、ADC 的变化

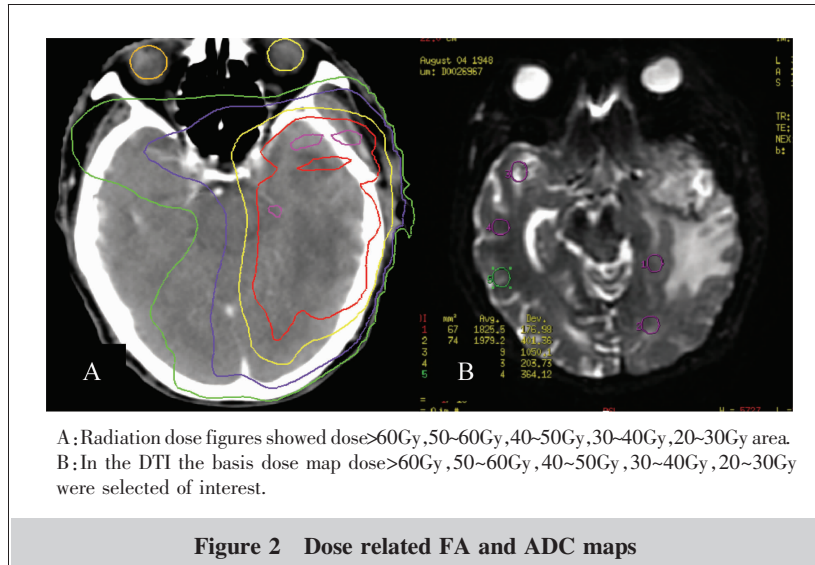
正常脑白质在不同剂量放疗前后 FA、ADC 值变化差异均无统计学意义($P>0.05$)(Table 2,3,Figure 2)。

Table 2 Dose related change of FA values ($\bar{x}\pm s$)

Groups	>60Gy	50~60Gy	40~50Gy	30~40Gy	20~30Gy
Pre-RT(n=31)	0.268±0.11	0.32±0.09	0.29±0.10	0.31±0.12	0.28±0.02
Post-RT(n=31)	0.279±0.09	0.28±0.10	0.26±0.11	0.28±0.11	0.25±0.14
t	-0.14	-1.07	-1.90	-0.37	-1.55
P	0.89	0.29	0.06	0.72	0.13

Table 3 Dose related change of ADC values ($\times 10^9$ mm²/s) ($\bar{x}\pm s$)

Groups	>60Gy	50~60Gy	40~50Gy	30~40Gy	20~30Gy
Pre-RT(n=31)	0.90±0.17	0.90±0.16	0.96±0.32	0.87±0.13	0.89±0.15
Post-RT(n=31)	0.91±0.14	0.95±0.20	1.08±0.43	0.88±0.13	0.95±0.24
t	-0.62	1.90	1.83	1.08	1.29
P	0.54	0.06	0.07	0.29	0.20



3 讨 论

DTI 的成像基础是水分子的弥散运动。Basser 等人于 1994 年将 DTI 引入人体磁共振领域。常用的评价整体弥散效应的指标有:弥散系数(diffusivity)、ADC、弥散均数(medium diffusion, MD)等,以 ADC 和 MD 最为常用。反映体内弥散各向异性的指标有:FA、相对各向异性(relative anisotropy, RA)、容积比(volume ratio, VR)等,以 FA 和 RA 最常用。目前进行一次 DTI 扫描既可得 ADC 及 FA 图,使用图像分析软件,在目标部分定义兴趣区(regions of interesting, ROI),就可得到相应的数据资料,精确量

化该区域水分子弥散度及方向性的变化。

本研究中发现放疗前肿瘤瘤体区 FA 值为 0.15 ± 0.07 , 放疗后肿瘤瘤体区 FA 值为 0.17 ± 0.09 。

与 Khayal 等^[1]研究相似,在肿瘤瘤体区域放疗后 FA 值升高。电离辐射杀死细胞的原发机制是损伤 DNA 双链,使细胞的基因组增殖的完整性丧失,从而导致微核形成、染色体畸变和细胞死亡。肿瘤细胞死亡后使水分子各向异性成分占整个扩散张量的比例增大,各向异性弥散程度降低越小,说明放疗有效,本研究中肿瘤瘤体区域 FA 值增高有统计学意义($P=0.04$)。

ADC 图是以 ADC 值为基础的重建图像,可直接测得 ADC 值,许多研究指出胶质瘤的细胞密度与 ADC 值具有良好的相关性^[2],并能指导分级,国内外研究报道 ADC 值的定量测定有助于对胶质瘤恶性级别的预测^[3,4]。洪汛宇等^[5]研究发现在肿瘤强化最明显的区域也是 ADC 值最低的区域,肿瘤的细胞密度与肿瘤实体部分 ADC 值呈负相关。随着肿瘤恶性程度的增高,瘤细胞数量增加,细胞核多形性明显,细胞外间隙缩小,导致水分子扩散受限加剧,故 ADC 值降低。ADC 值与胶质瘤实质部分的细胞密度相关,反映细胞质的构成和核浆比。本研究中

肿瘤瘤体区放疗前 ADC 为 1.28 ± 0.22 ,放疗结束后 1 周复查该区域 ADC 值为 1.42 ± 0.40 ,较前上升,有统计学差异。因为放疗打断肿瘤细胞的 DNA 双链,使肿瘤细胞启动死亡程序,核浆比缩小,细胞溶解凋亡,肿瘤细胞数量减少,使细胞外间隙变大,水分子扩散受限减轻,故瘤体区放疗后的 ADC 值升高,说明放疗能够有效地抑制肿瘤细胞增殖。Tomura 等^[6]报道 20 例脑肿瘤患者经立体定向放疗后 ADC 变化,治疗后肿瘤实质的 ADC 值明显升高,且 ADC 值能预测治疗效果。Khayal 等^[1]通过 DTI 研究 37 例脑胶质瘤患者同步行放化疗及辅助化疗,肿瘤强化区域 ADC 升高。

放射线对脑组织的直接损伤多发生在放射野内，且以放射野最为严重。脑组织放疗后损伤应包括急性、亚急及迟发性损伤^[7,8]，急性反应较少见，近年来很多研究利用DTI检查研究放疗后正常白质的损伤^[9,10]。本研究中放疗结束时剂量在20~60Gy白质区域FA值较放疗前下降，剂量高于60Gy白质区域FA值较放疗前上升，但均无统计学意义。剂量>60Gy、50~60Gy、40~50Gy、30~40Gy、20~30Gy区域的ADC值较放疗前稍有升高，与文献报道相似，但本研究中差异均无统计学意义。Haris等^[11]研究5例低级别脑胶质瘤患者正常白质在放疗后3个月、8个月及14个月DTI量化指标，发现MD值在剂量50~55Gy、>50Gy区域的脑白质在放疗后3个月为升高趋势，FA为下降趋势；而剂量在20~45Gy区域脑组织MD及FA值无明显变化。Nagesh等^[12]分析25例脑胶质瘤患者正常脑白质在常规放疗后反应，分别在放疗前、中及放疗后行DTI检查，结果为在胼胝体的膝部及压部FA值降低、MD值升高，并且其变化呈剂量依赖性，剂量越高、变化幅度越大，提示放疗后早期的正常脑白质脱髓鞘病变。

参考文献：

- [1] Khayal IS, Polley MY, Jalbert L, et al. Evaluation of diffusion parameters as early biomarkers of disease progression in glioblastoma multiforme[J]. Neuro Oncol, 2010, 12(9): 908–916.
- [2] Nakai T, Muraki S, Bagarinao E, et al. Application of independent component analysis to magnetic resonance imaging for enhancing the contrast of gray and white matter [J]. Neuroimage, 2004, 21(1):251–260.
- [3] Yamasaki F, Kurisu K, Satoh K, et al. Apparent diffusion coefficient of human brain tumors at MR imaging [J]. Radiology, 2005, 235(3):985–991.
- [4] Higano S, Yun X, Kumabe T, et al. Malignant astrocytic tumors: clinical importance of apparent diffusion coefficient in prediction of grade and prognosis[J]. Radiology, 2006, 241(3):839–846.
- [5] Hong XY, Wang DH, Chen H, et al. Usefulness of diffusion weighted imaging in the evaluation of cellularity of brain tumors according to neuronavigation images[J]. Chinese Computed Medical Imaging, 2005, 11(3):147–151.[洪汛宇, 王德杭, 陈宏, 等. 星形细胞肿瘤ADC与细胞密度导航导引下的对照研究[J]. 中国医学计算机成像杂志, 2005, 11(3):147–151.]
- [6] Tomura N, Narita K, Izumi J, et al. Diffusion changes in a tumor and peritumoral tissue after stereotactic irradiation for brain tumors: possible prediction of treatment response [J]. J Comput Assist Tomogr, 2006, 30(3):496–500.
- [7] Valk PE, Dillon WP. Radiation injury of the brain[J]. AJNR Am J Neuroradiol, 1991, 12(1):45–62.
- [8] Schultheiss TE, Kun LE, Ang KK, et al. Radiation response of the central nervous system[J]. Int J Radiat Oncol Biol Phys, 1995, 31(5):1093–1112.
- [9] Kitahara S, Nakasu S, Murata K, et al. Evaluation of treatment-induced cerebral white matter injury by using diffusion-tensor MR imaging: initial experience[J]. AJNR Am J Neuroradiol, 2005, 26(9):2200–2206.
- [10] Qiu D, Leung LH, Kwong DL, et al. Mapping radiation dose distribution on the fractional anisotropy map: applications in the assessment of treatment-induced white matter injury[J]. Neuroimage, 2006, 31(1):109–115.
- [11] Haris M, Kumar S, Raj MK, et al. Serial diffusion tensor imaging to characterize radiation-induced changes in normal-appearing white matter following radiotherapy in patients with adult low-grade gliomas[J]. Radiat Med, 2008, 26(3):140–150.
- [12] Nagesh V, Tsien CI, Chenevert TL, et al. Radiation-induced changes in normal appearing white matter in patients with cerebral tumors: a diffusion tensor imaging study[J]. Int J Radiat Oncol Biol Phys, 2008, 70(4): 1002–1010.